

СИЛЬНЫЕ ЗЕМЛЕТРЯСЕНИЯ ЗЕМЛИ

С.Г. Пойгина, Н.В. Петрова, Н.В. Болдырева

ФИЦ ЕГС РАН, г. Обнинск, sveta@gsras.ru

Аннотация. Приведены сведения о сейсмичности Земли в 2014 г. по данным сейсмологического бюллетеня Геофизической службы РАН (ГС РАН). Исходный сейсмологический бюллетень за 2014 г. содержит параметры 3268 землетрясений мира, по сравнению с 4212 в 2013 г. В данной статье анализируются параметры 165 землетрясений с $M \geq 6$, включая 16 сильнейших с $M \geq 7$, а также пять землетрясений с $M=6.0-6.7$, приведших к значительным жертвам и разрушениям. Приведены сведения о механизмах очагов, макросейсмическом эффекте, числе жертв, цунами и т.д. Сравнительный анализ числа землетрясений и выделившейся сейсмической энергии в разных сейсмически активных районах Земли показал, что, как и ранее, самым сейсмически активным был Тихоокеанский регион, где выделилось более 96 % всей сейсмической энергии, по сравнению с 1.8 % в Евразии, 1.3 % в Атлантическом океане и 0.2 % – в Индийском океане. Максимальное землетрясение Земли в 2014 г. произошло 1 апреля с $Mw=8.1$ у берегов Чили и сопровождалось многочисленными форшоками и афтершоками. Самые большие человеческие жертвы и материальный ущерб в 2014 г. принесло катастрофическое Лудянское землетрясение с $MS=6.2$, произошедшее 3 августа в китайской провинции Юньнань.

Ключевые слова: сейсмические станции, сильные землетрясения, каталог, магнитуда, сейсмическая энергия, механизм очага, макросейсмический эффект.

DOI: 10.35540/1818-6254.2020.23.23

Для цитирования: Пойгина С.Г., Петрова Н.В., Болдырева Н.В. Сильные землетрясения Земли // Землетрясения Северной Евразии. – Вып. 23 (2014 г.). – Обнинск: ФИЦ ЕГС РАН, 2020. – С. 235–243
doi: 10.35540/1818-6254.2020.23.23

Введение. В российской сейсмологической практике основные параметры землетрясений мира определяются Службой срочных донесений по доступным в оперативном режиме данным телесейсмических станций ГС РАН и мира с публикацией на официальном сайте Геофизической службы в течение часа со времени возникновения события. После получения всего комплекса станционных данных производится их переобработка и составление ежедекадных сейсмологических бюллетеней и каталогов, также доступных на сайте ФИЦ ЕГС РАН [1, 2]. На основе уточненных данных составлен сводный каталог [3], используемый в данной работе. Помимо основных параметров, в данной статье анализируются механизмы очагов и тектонические условия их возникновения, а также макросейсмические проявления землетрясений, собранные по данным международных центров и средств массовой информации.

Исходные данные и методика анализа. Исходным для анализа сильных землетрясений Земли в 2014 г. явился Каталог землетрясений Земли за 2014 г., приведенный в Приложении к наст. сб. [3], составленный по данным сейсмологических бюллетеней [1] и сейсмологических каталогов [2] ГС РАН. При составлении ежедекадных сейсмологических каталогов и сейсмологических бюллетеней в 2014 г. использовались данные 821 сейсмической станции ГС РАН, ГС СО РАН, других российских ведомств и мировой сети [4], изображенных на рис. 1 (в 2013 г. – 849 станций [5]).

Как видно из рис. 1, подавляющее число используемых в 2014 г. станций размещено в северном полушарии, особенно в районах самой высокой плотности населения – в Европе. Список всех станций дан в Приложении к настоящему ежегоднику. [4].

Рассмотрим содержание и объем исходного каталога землетрясений Земли по данным ГС РАН за 2014 г. [3]. Методика определения основных параметров землетрясений, по сравнению с таковой в [6], не изменилась. В каталог [3] дополнительно включены сейсмические моменты M_0 , рассчитанные по методике [7], и моментные магнитуды Mw по методике Канамори [8] из [9], а также метки о наличии механизмов очагов по определениям ГС РАН методом первых вступлений P -волн из [10].

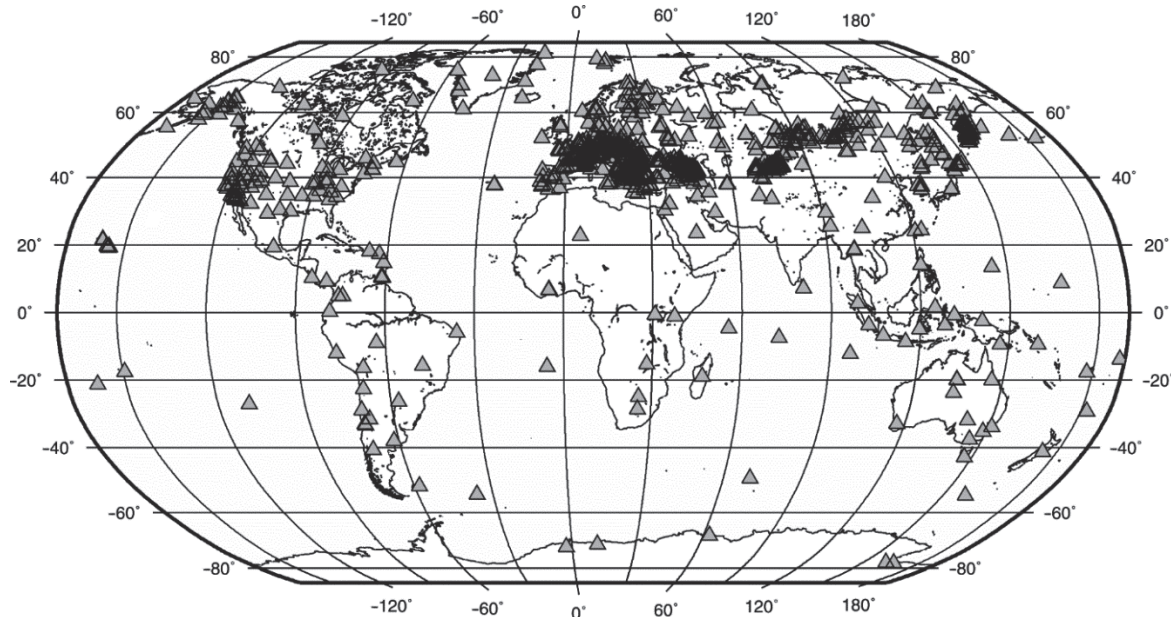


Рис. 1. Сейсмические станции мира, данные которых использовались при определении основных параметров землетрясений за 2014 г. в [1, 2]

Итоговый сейсмологический каталог [3] за 2014 г. включает параметры 3268 землетрясений мира (в 2013 г. – 4212 [11]). Из каталога [3] следует, что для всех 3268 землетрясений определены магнитуды $MPSP$ по объемным волнам. Остальных динамических параметров определено значительно меньше, а именно: MS – для 930 землетрясений; $MPLP$ – для 167; M_0 и Mw – для девяти; механизмы очагов – для 16 событий. Приведенные объемы измерений повлекли за собой необходимость проведения двух дополнительных процедур при создании каталога сильных ($M \geq 6.0$) землетрясений Земли [12].

Первая процедура связана с разумным восполнением недостающих значений сейсмических моментов M_0 и моментных магнитуд Mw в каталоге сильных ($M \geq 6.0$) землетрясений Земли (Приложение к настоящему ежегоднику [12]), привлекая для этого данные международного центра GCMT [13].

Вторая процедура связана с практической необходимостью из имеющихся сведений получить для всех землетрясений каталога [12] магнитуду MS по поверхностным волнам как наиболее устойчивую. Эта магнитуда используется в практике сейсмического районирования для расчета макросейсмической интенсивности по уравнениям макросейсмического поля типа $I=f(MS, \Delta)$ и сейсмической сотрясаемости. Расчетная магнитуда M^* определялась по формуле (1) для всех землетрясений, у которых в каталоге [3] отсутствует инструментальная MS , или глубина очага больше 70 км:

$$M^* = Mw. \quad (1)$$

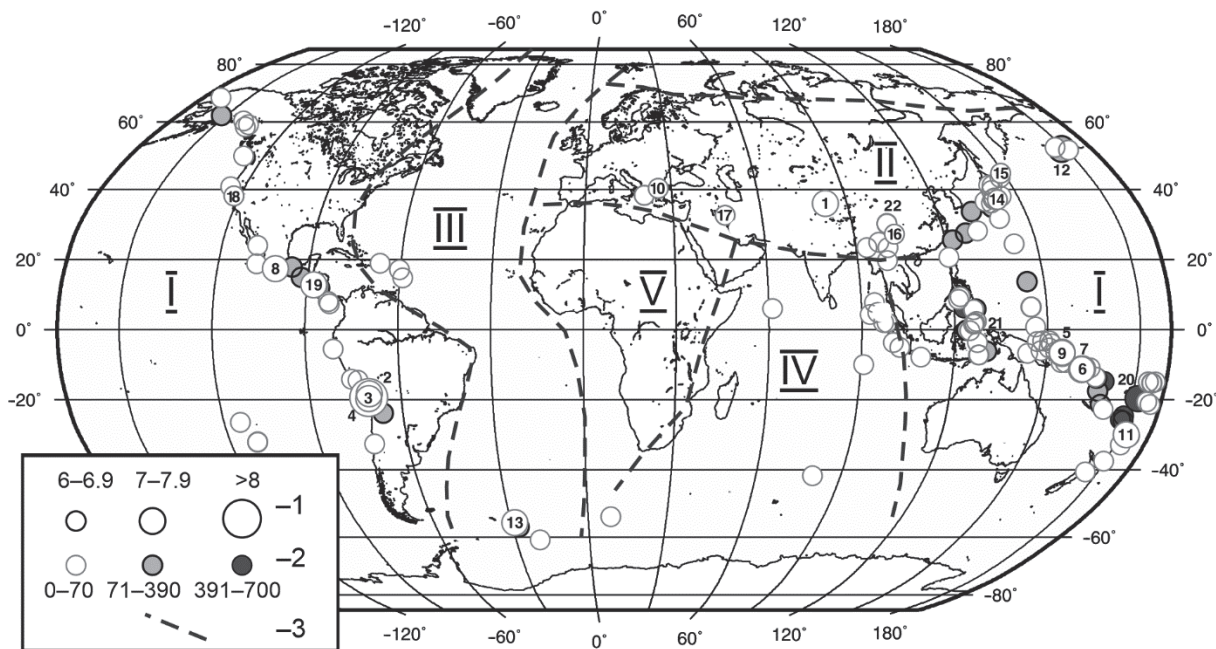
Сейсмическая энергия рассчитывалась из MS (M^*) по формуле (2) из [14]:

$$\lg E, \text{Дж} = 4.8 + 1.5 MS. \quad (2)$$

Кроме того, каталог [12] дополнен макросейсмическими сведениями [15] о сильных землетрясениях из различных источников, в основном из [16, 17], и координатами подвергнувшихся сейсмическим воздействиям населенных пунктов [18] на территории Северной Евразии из [19].

Анализ данных. Суммарное число наиболее сильных ($M \geq 6.0$) землетрясений Земли в 2014 г. составило $N_{\Sigma}=165$ [12]. Как и ранее [6], к таковым отнесены все землетрясения из каталога [13], у которых хотя бы одна из четырех магнитуд ($MS, MPLP, MPSP, Mw$) ≥ 6.0 .

Географическое распределение гипоцентров сильных землетрясений показано на рис. 2. В основном оно соответствует известной мировой статистике землетрясений, наблюдаемых на земном шаре.

Рис. 2. Карта эпицентров сильных ($M \geq 6.0$) землетрясений Земли за 2014 г.

1 – магнитуда MS или M^* ; 2 – глубина h гипоцентра, км; 3 – граница сейсмического региона (I – Тихоокеанского, II – Евразийского, III – Атлантического океана, IV – Индийского океана, V – Африканского). Номер в кружке эпицентра для землетрясений с $M \geq 7$ соответствует номеру землетрясения в табл. 3 и 4.

Распределение землетрясений Земли с M (MS , $MPLP$, $MPSP$, Mw) ≥ 6.0 в зависимости от магнитуды, но без дифференциации их по глубинам очагов, приведено в табл. 1 в сопоставлении с аналогичными данными за предыдущие 22 года [6, 20]. Как видно, в 2014 г. число землетрясений в интервале $M=6.0$ – 6.9 равно $N=148$, что ниже среднего $\bar{N}=161.7$ за 22 года. В диапазоне $M=7.0$ – 7.9 оно составило $N=16$, что примерно равно среднему значению $\bar{N}=15.9$.

Таблица 1. Распределение числа землетрясений Земли с $M \geq 6.0$ в различных интервалах магнитуд за 1992–2014 гг.

Год	$N(\Delta M)$			N_{Σ}
	6.0–6.9	7.0–7.9	≥ 8.0	
1992	117	13	–	130
1993	97	7	–	104
1994	136	14	1	151
1995	242	28	–	270
1996	217	15	–	232
1997	151	5	–	156
1998	113	12	–	125
1999	159	21	–	180
2000	169	17	–	186
2001	126	16	1	143
2002	139	11	–	150
2003	138	14	2	154
2004	153	14	3	170
Сумма за 22 года				
Среднее за 22 года				
2014				
Год	$N(\Delta M)$			N_{Σ}
	6.0–6.9	7.0–7.9	≥ 8.0	
2005	190	13	1	204
2006	154	15	2	171
2007	185	20	3	208
2008	174	14	1	189
2009	152	18	1	171
2010	174	22	1	197
2011	272	24	1	297
2012	163	14	2	179
2013	136	23	1	160
Сумма за 22 года	3557	350	20	3927
Среднее за 22 года	161.7	15.9	1.5	178.5
2014	148	16	1	165

Распределение суммарной сейсмической энергии, выделившейся в 2014 г. при землетрясениях с $M \geq 6.0$ в основных сейсмических регионах Земного шара, представлено в табл. 2. При составлении таблицы использованы наблюденные магнитуды MS для тех землетрясений, у которых эта магнитуда есть в каталоге [12], а для остальных, как указано выше, выполнен пересчет магнитуд Mw в магнитуды M^* по формуле (1). Из табл. 2 следует, что более 96 % всей сейсмической энергии высвобождено в очагах землетрясений Тихоокеанского региона (I), 1.8 % –

в Евразии (II), 1.3 % – в Атлантическом океане (III) и 0.2 % – в Индийском океане (IV). В Африке сильных землетрясений в 2014 г. не происходило.

Таблица 2. Распределение числа землетрясений Земли с $M \geq 6.0$ и их суммарной сейсмической энергии ΣE по территории Земного шара в 2014 г.

№ региона	Сейсмический регион	Число землетрясений с M		ΣE , 10^{15} Дж	%
		6.0–6.9	≥ 7.0		
I	Тихий океан	119	15	229.9	96.7
II	Евразия	12	1	4.3	1.8
III	Атлантический океан	6	1	3.0	1.3
IV	Индийский океан	11	–	0.6	0.2
	Сумма	148	17	237.8	–

В табл. 3 приведены основные параметры 17 сильнейших землетрясений планеты с $M (MS, MPLP, MPSP, Mw) \geq 7.0$ из каталога [12], а в табл. 4 – параметры их механизмов [10, 21]. Кроме того, в табл. 3 и 4 включены пять более слабых, но разрушительных землетрясений (№ 10, 16, 17, 18 и 22) с $M=6.0–6.7$, произошедших в Эгейском море, Китае, Иране и Северной Калифорнии, которые привели к человеческим жертвам и разрушениям, и приведены параметры их механизмов очагов.

Из 22 сильнейших землетрясений Земли, включенных в табл. 3, 16 землетрясений (№ 2–9, 11, 12, 14, 15, 18–21) локализованы в Тихоокеанском регионе, пять (№ 1, 10, 16, 17, 22) – в Евразии, одно – (№ 13) – в районе Атлантического океана.

Таблица 3. Список сильнейших ($M \geq 7.0$) землетрясений Земли в 2014 г.

№	Дата, д м	t_0 , ч мин с	Параметры гипоцентра [1]			M_0 , Н·м [1]	Магнитуды [1]				Сейсм. ре- гион	Географический регион [22]
			φ°	λ°	h , км		Mw/n	MS/n (M^*)	$MPLP/n$	$MPSP/n$		
1	2	3	4	5	6	7	8	9	10	11	12	13
1*	12.02	09 19 47.6	36.002	82.605	10f	$1.4 \cdot 10^{19}$ OBN	6.7/1	7.1/100	6.9/12	6.7/140	II	Южный Синьцзян, Китай
2*	01.04	23 46 44.7	-19.453	-70.747	10f	–	–	7.9/61	–	6.9/7	I	Побережье Северного Чили
3	01.04	23 57 55.9	-19.647	-70.753	10f	–	–	(7.0)	–	6.3/18	I	Побережье Северного Чили
4*	03.04	02 43 10.8	-20.626	-70.897	10f	–	–	7.6/48	–	6.7/41	I	Побережье Северного Чили
5	11.04	07 07 19.2	-6.469	154.958	33f	–	–	(7.1)	6.7/5	6.5/48	I	Соломоновы о-ва
6*	12.04	20 14 37.8	-11.224	162.087	25	$1.9 \cdot 10^{20}$ TLY	7.5/1	7.7/133	7.7/8	7.1/47	I	Соломоновы о-ва
7*	13.04	12 36 17.6	-11.354	161.855	37	$1.3 \cdot 10^{20}$ TLY	7.4/1	7.4/43	7.1/10	6.9/75	I	Соломоновы о-ва
8*	18.04	14 27 23.4	17.441	-100.938	22	–	–	7.2/48	7.1/8	6.6/54	I	Геррero, Мексика
9*	19.04	13 27 57.8	-6.719	154.936	36	$2.2 \cdot 10^{20}$ TLY	7.5/1	7.3/52	7.4/7	6.8/49	I	Соломоновы о-ва
10	24.05	09 25 00.4	40.327	25.376	7	–	–	6.7/113	6.3/4	6.3/56	II	Эгейское море
11*	23.06	19 19 15.2	-29.956	-177.668	20	–	–	7.0/87	6.8/8	6.5/31	I	Острова Кермадек, Новая Зеландия
12*	23.06	20 53 08.2	51.850	178.813	107	$6.0 \cdot 10^{20}$ OBN	7.8/1	(7.9)	7.2/15	7.0/63	I	Крысы острова, Алеуты
13*	29.06	07 52 55.0	-55.562	-28.695	10f	–	–	7.0/54	–	6.4/43	III	Район Южных Сандвичевых о-вов
14	11.07	19 22 01.3	37.060	142.403	34	–	–	6.5/140	7.1/5	6.6/62	I	У восточного поб-я Хонсю, Япония
15*	20.07	18 32 45.8	44.656	148.915	64	$5.7 \cdot 10^{18}$ OBN	6.5/1	(6.3)	7.2/7	7.0/50	I	Курильские о-ва
16	03.08	08 30 14.3	27.217	103.458	28	–	–	6.2/123	6.2/10	6.1/132	II	Провинция Юньнань, Китай

№	Дата, д м	t_0 , ч мин с	Параметры гипоцентра [1]			M_0 , Н·м [1]	Магнитуды [1]				Сейсм. ре- гион	Географический регион [22]
			φ°	λ°	h , км		Mw/n	MS/n (M^*)	$MPLP/n$	$MPSP/n$		
1	2	3	4	5	6	7	8	9	10	11	12	13
17	18.08	02 32 03.5	32.620	47.674	12	—	—	6.0/100	6.2/4	6.1/140	II	Иран–Ирак погр. обл.
18	24.08	10 20 45.6	38.201	−122.086	13	—	—	6.4/55	6.0/7	5.9/71	I	Северная Калифорния
19*	14.10	03 51 34.7	12.721	−87.867	51	—	—	7.1/55	6.9/5	6.5/58	I	Побережье Никарагуа
20	01.11	18 57 20.0	−19.653	−177.834	413	—	—	(7.1)	—	6.2/27	I	Район о-вов Фиджи
21	15.11	02 31 39.8	1.887	126.443	43	—	—	6.8/63	7.0/15	6.8/92	I	Север Молуккского моря
22	22.11	08 55 27.1	30.269	101.715	23	—	—	6.1/93	6.1/9	5.9/112	II	Провинция Сычуань, Китай

Примечание. В графе 1 знак «*» указывает на наличие в [1, 10] параметров механизма очага по первым вступлениям P -волн; в графе 6 буквой «б» индексирована фиксированная глубина; в графе 7 приведен сейсмический момент M_0 , рассчитанный в агентстве GSRAS по данным станций ОВН («Обнинск») или TLY («Талая»); в графе 9 (M^*) – расчетная магнитуда, равная моментной магнитуде Mw из [13] для землетрясений, у которых отсутствует инструментальная величина MS , или глубина очага $h > 70$ км; в графе 12 номер региона соответствует № в табл. 2.

Представление механизмов очагов землетрясений с $M \geq 7.0$ в стереографической проекции на нижней полусфере дано в табл. 4 и на рис. 3. Для 12 землетрясений (№ 1, 2, 4, 6–9, 11–13, 15, 19) механизмы очагов определены в ГС РАН (код агентства – GSRAS) [1, 10] по программе А.В. Ландера [23], использующей знаки первых вступлений продольных P -волн, для десяти других землетрясений (№ 3, 5, 10, 14, 16–18, 20–22) – по методу тензора момента центроида в Колумбийском университете США (код агентства – GCMT) [13, 21].

Таблица 4. Параметры механизмов очагов сильнейших ($M \geq 7.0$) землетрясений Земли в 2014 г.

№	Дата, д м	t_0 , ч мин с	h , км	Mw [13]	Оси главных напряжений				Нодальные плоскости				Агент- ство				
					T		N		P		$NP1$						
PL	AZM	PL	AZM	PL	AZM	STK	DP	$SLIP$	STK	DP	$SLIP$						
1	2	3	4	5	6	7	8	9	10	11	12	13	14	15	16	17	19
1	12.02	09 19 47.6	10f	6.9	13	95	74	315	10	188	232	74	2	141	88	164	GSRAS
2	01.04	23 46 44.7	10f	8.1	50	85	11	342	38	243	283	12	31	163	84	101	GSRAS
3	01.04	23 57 55.9	10f	7.0	70	96	4	355	20	264	347	26	81	177	65	94	GCMT
4	03.04	02 43 10.8	10f	7.7	60	61	15	180	25	277	37	24	130	175	71	74	GSRAS
5	11.04	07 07 19.2	33f	7.1	86	77	2	312	3	222	310	42	87	134	48	93	GCMT
6	12.04	20 14 37.8	25	7.6	23	346	67	180	5	78	124	70	13	30	78	160	GSRAS
7	13.04	12 36 17.6	37	7.4	61	307	29	127	0	216	101	52	52	333	52	128	GSRAS
8	18.04	14 27 23.4	22	7.3	50	40	9	141	38	239	17	11	146	140	84	81	GSRAS
9	19.04	13 27 57.8	36	7.5	48	85	41	284	10	186	238	50	32	126	66	136	GSRAS
10	24.05	09 25 00.4	7	6.9	1	28	84	129	6	298	73	85	−177	343	87	−5	GCMT
11	23.06	19 19 15.2	20	6.9	60	299	15	180	25	83	143	24	50	5	71	106	GSRAS
12	23.06	20 53 08.2	107	7.9	33	74	29	323	43	202	220	30	−11	320	84	−119	GSRAS
13	29.06	07 52 55.0	10f	6.9	51	241	4	146	38	54	118	7	61	327	84	94	GSRAS
14	11.07	19 22 01.3	34	6.5	19	107	7	200	70	310	185	27	−107	23	64	−82	GCMT
15	20.07	18 32 45.8	64	6.3	52	352	29	217	22	114	162	35	30	47	73	121	GSRAS
16	03.08	08 30 14.3	28	6.2	3	26	80	133	9	296	71	81	−175	340	86	−9	GCMT
17	18.08	02 32 03.5	12	6.2	68	5	9	119	20	212	317	27	111	114	65	80	GCMT
18	24.08	10 20 45.6	13	6.1	9	113	80	286	1	22	157	83	174	248	84	8	GCMT
19	14.10	03 51 34.7	51	7.3	26	32	4	124	64	221	114	20	−101	305	71	−86	GSRAS
20	01.11	18 57 20.0	413	7.1	53	143	16	255	33	355	130	19	147	252	80	74	GCMT
21	15.11	02 31 39.8	43	7.1	74	72	11	205	12	297	42	35	110	197	58	77	GCMT
22	22.11	08 55 27.1	23	6.1	3	8	85	244	4	98	143	85	−1	233	89	−175	GCMT

Примечание. Параметры землетрясений (графы 2–4) соответствуют таковым в каталогах [3, 12].

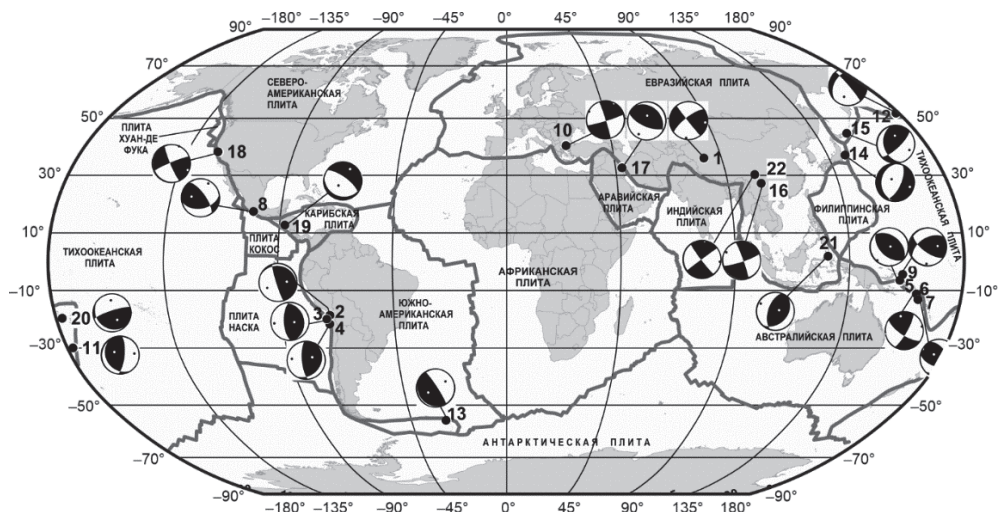


Рис. 3. Диаграммы механизмов очагов сильнейших ($M \geq 7.0$) землетрясений Земли за 2014 г.
в проекции нижней полусфера

Зачернены области сжатия. Черными кружками обозначены эпицентры землетрясений, номер рядом с эпицентром соответствует номеру землетрясения в табл. 3 и 4.

Эпицентры большинства землетрясений приурочены к границам крупнейших тектонических плит Земли (рис. 3) и расположены в пределах земной коры. Землетрясение на Алеутах (№ 12) имело промежуточное значение глубины ($h=107$ км), глубокий очаг ($h=413$ км) имел место в районе островов Фиджи (№ 20).

Очаг сильнейшего в 2014 г. Чилийского землетрясения (№ 2), произошедшего 1 апреля в 23^h46^m у побережья Северного Чили, залегал в верхней части земной коры на глубине $h=10$ км. По данным [16], землетрясение ощущалось с интенсивностью $I=VII$ баллов по шкале MMI (MMI – модифицированная шкала Меркалли [24]) в двух прибрежных городах Чили – Икике и Арика. В результате землетрясения образовалась волна цунами, ее максимальная высота наблюдалась у берегов Северного Чили: в провинциях Арика и Паринакота – от 2.0 до 4.6 м, в Тарапаке – от 1.4 до 3.7 м [17]. Волна цунами высотой до 0.55 м докатилась до берегов Японии [17], 0.4 м – до северокурильского острова Парумушир [17]. Чилийское землетрясение 1 апреля с $Mw=8.1$ сопровождалось многочисленными форшоками и афтершоками. До конца 2014 г. проведена сводная обработка данных 55 афтершоков с $M=4.3–7.6$ [3], из них пять – с $M=6.1–7.6$ [12].

Механизм очага Чилийского землетрясения, по данным ГС РАН (№ 2 на рис. 3), представляет собой сдвиг с компонентами надвига по полого падающей на восток субмеридиональной плоскости, совпадающей с ориентацией меганадвигового разлома у побережья Чили. Решение для второй нодальной плоскости – взброс по плоскости север–северо-западного простирания, круто падающей на запад, менее вероятно с точки зрения общих представлений о тектонике данного субдукционного региона, характеризующегося процессом подвига плиты Наска под Южноамериканскую с падением плоскости погружающейся плиты на восток.

Самые большие человеческие жертвы и материальный ущерб в 2014 г. принесло катастрофическое землетрясение 3 августа (№ 16) с $MS=6.2$ [3] ($Mw=6.2$ [13]), произошедшее в 08^h30^m в уезде Лудянь провинции Юньнань. Очаг располагался в 11 км к западу от г. Вэньпин на глубине $h=28$ км. По данным [17], в результате Лудяньского землетрясения в провинции Юньнань погибли 615 человек и 3143 человека ранены, разрушено 25.8 тыс. и повреждено 160.4 тыс. домов. В городах Китая толчки ощущались с интенсивностью от III до VII баллов по шкале MMI [15, 16].

В заключение отметим, что в 2014 г. большинство сильнейших землетрясений Земли произошло на границах самых крупных литосферных плит, и механизмы их очагов отражают особенности межплитового взаимодействия. Аномально высокое количество сейсмической энергии выделилось у берегов Северного Чили, где произошло сильнейшее на планете землетрясение с $Mw=8.1$.

Авторы выражают благодарность сотрудникам ФИЦ ЕГС РАН О.П. Каменской и Л.С. Маяновой за помощь в подготовке графических материалов к статье.

Л и т е р а т у р а

1. Сейсмологический бюллетень (сеть телесейсмических станций), 2014. (2020) // ФИЦ ЕГС РАН [сайт]. – URL: ftp://ftp.gsras.ru/pub/Teleseismic_bulletin/2014
2. Сейсмологический каталог (сеть телесейсмических станций), 2014. (2020) // ФИЦ ЕГС РАН [сайт]. – URL: ftp://ftp.gsras.ru/pub/Teleseismic_Catalog/2014
3. Болдырева Н.В. (отв. сост.), Аторина М.А., Бабкина В.Ф., Лёвкина А.В., Малянова Л.С., Павская И.М., Рыжикова М.И., Щербакова А.И. Каталог землетрясений Земли за 2014 г. // Землетрясения Северной Евразии. – Вып. 23 (2014 г.). – Обнинск: ФИЦ ЕГС РАН, 2020. – Приложение на CD-ROM.
4. Бабкина В.Ф., Болдырева Н.В., Пойгина С.Г. Список сейсмических станций России и мира, использованных при создании Сейсмологического бюллетеня за 2014 г. // Землетрясения Северной Евразии. – Вып. 23 (2014 г.). – Обнинск: ФИЦ ЕГС РАН, 2020. – Приложение на CD-ROM.
5. Бабкина В.Ф., Болдырева Н.В., Пойгина С.Г. Список сейсмических станций России и мира, использованных при создании Сейсмологического бюллетеня за 2013 г. // Землетрясения Северной Евразии. – Вып. 22 (2013 г.). – Обнинск: ФИЦ ЕГС РАН, 2019. – Приложение на CD-ROM.
6. Пойгина С.Г., Петрова Н.В., Болдырева Н.В. Сильные землетрясения Земли // Землетрясения Северной Евразии. – Вып. 22 (2013 г.). – Обнинск: ФИЦ ЕГС РАН, 2019. – С. 273–291. doi: [10.35540/1818-6254.2019.22.25](https://doi.org/10.35540/1818-6254.2019.22.25)
7. Алтекман Ж.Я., Белавина Ю.Ф., Захарова А.И., Зобин В.М., Коган С.Я., Корчагина О.А., Москвина А.Г., Поликарпова Л.А., Чепкунас Л.С. Спектры P -волн в задаче определения динамических параметров очагов землетрясений. Переход от станционного спектра к очаговому и расчет динамических параметров очага // Вулканология и сейсмология – 1989. – № 2. – С. 66–79.
8. Hanks T.C., Kanamori H.A. Moment Magnitude Scale // J. Geophys. Res. – 1979. – 84. – N 135. – P. 2348–2350.
9. Чепкунас Л.С., Малянова Л.С. Очаговые параметры сильных землетрясений Земли // Землетрясения Северной Евразии. – Вып. 23 (2014 г.). – Обнинск: ФИЦ ЕГС РАН, 2020. – С. 244–249. doi: [10.35540/1818-6254.2020.23.24](https://doi.org/10.35540/1818-6254.2020.23.24)
10. Малянова Л.С. (отв. сост.), Габсатарова И.П. Параметры механизмов очагов сильных землетрясений Земли в 2014 г. // Землетрясения Северной Евразии. – Вып. 23(2014 г.). – Обнинск: ФИЦ ЕГС РАН, 2020. – Приложение на CD-ROM.
11. Болдырева Н.В. (отв. сост.), Аторина М.А., Бабкина В.Ф., Дуленцова Л.Г., Лёвкина А.В., Малянова Л.С., Рыжикова М.И., Щербакова А.И. Каталог землетрясений Земли за 2013 г. // Землетрясения Северной Евразии. – Вып. 22 (2013 г.). – Обнинск: ФИЦ ЕГС РАН, 2019. – Приложение на CD-ROM.
12. Болдырева Н.В., Пойгина С.Г. (отв. сост.), Аторина М.А., Бабкина В.Ф., Лёвкина А.В., Малянова Л.С., Павская И.М., Щербакова А.И. Каталог сильных с M ($MPSP$, $MPLP$, MS , Mw) ≥ 6.0 землетрясений Земли за 2014 г. // Землетрясения Северной Евразии. – Вып. 23 (2014 г.). – Обнинск: ФИЦ ЕГС РАН, 2020. – Приложение на CD-ROM.
13. Global Centroid Moment Tensor (GCMT) Catalog Search [Site]. – URL: <http://www.globalcmt.org/>
14. Касахара К. Механика землетрясений. – М.: Мир, 1985. – С. 25.
15. Пойгина С.Г., Коломиец М.В. Макросейсмический эффект сильных ощущимых землетрясений Земли с $M \geq 6$ в населенных пунктах в 2014 г. // Землетрясения Северной Евразии. – Вып. 23 (2014 г.). – Обнинск: ФИЦ ЕГС РАН, 2020. – Приложение на CD-ROM.
16. Search Earthquake Catalog // USGS [Site]. – URL: <https://earthquake.usgs.gov/earthquakes/search/>
17. The Significant Earthquake Database // NOAA. National Centers for Environmental Information [Site]. – URL: <https://www.ngdc.noaa.gov/nndc/struts/form?t=101650&s=1&d=1>
18. Пойгина С.Г. Координаты сотрясенных в 2014 г. населенных пунктов Северной Евразии (при сильных землетрясениях Земли с $M \geq 6$) // Землетрясения Северной Евразии. – Вып. 23 (2014 г.). – Обнинск: ФИЦ ЕГС РАН, 2020. – Приложение на CD-ROM.
19. База данных "Macroseismic punkts GS RAS". – Обнинск: Фонды ФИЦ ЕГС РАН, 2020.
20. Сейсмологический каталог (сеть телесейсмических станций), 1993–2014 (2020 г.) // ФИЦ ЕГС РАН [сайт]. – URL: ftp://ftp.gsras.ru/pub/Teleseismic_Catalog/1993–2014
21. Пойгина С.Г. Дополнение к каталогу механизмов очагов сильных землетрясений Земли по данным GCMT за 2014 г. // Землетрясения Северной Евразии. – Вып. 23 (2014 г.). – Обнинск: ФИЦ ЕГС РАН, 2020. – Приложение на CD-ROM.
22. Young J.B., Presgrave B.W., Aichele H., Wiens D.A., Flinn E.A. The Flinn-Engdahl regionalization scheme: the 1995 revision // Physics of the Earth and Planetary Interiors. – 1996. – N 96. – P. 223–297.
23. Ландер А.В. Описание и инструкция для пользователя комплекса программ FA (расчет и графическое представление механизмов очагов землетрясений по знакам первых вступлений P -волн). – М., 2006. – 27 с.
24. The Modified Mercalli Intensity Scale. (2020). Earthquake Topics. Retrieved from <https://earthquake.usgs.gov/learn/topics/mercalli.php>

GLOBAL EARTHQUAKES***S.G. Poygina, N.V. Petrova, N.V. Boldyreva****Geophysical Survey of the Russian Academy of Sciences, Odninsk, Russia, sveta@gsras.ru*

Abstract. The information on global seismicity in 2014 at the level of strong earthquakes with $M \geq 6$ according to the Seismological Bulletin of the Geophysical Survey of RAS (GS RAS) is provided. The original Seismological Bulletin for 2014 contains parameters of 3268 earthquakes in the world, versus 4212 in 2013. This article analyzes 165 earthquakes with $M \geq 6$, including 16 strongest earthquakes with $M \geq 7$, and five earthquakes with $M=6.0-6.7$, which resulted in significant casualties and destruction. The information on focal mechanisms, macroseismic effect, the number of victims, tsunamis, etc. is given. A comparative analysis of the number of earthquakes and released seismic energy in different seismically active regions of the Earth showed that, as before, the Pacific region was the most seismically active. More than 96 % of common seismic energy was released in the Pacific region, compared to 1.8 % in Eurasia, 1.3 % in Atlantic Ocean and 0.2 % in the Indian Ocean. The Earth's maximum earthquake in 2014 occurred on April 1 with $Mw=8.1$ off shore of Chile. It was accompanied by numerous foreshocks and aftershocks. The maximum casualties and material damage in 2014 were caused by the catastrophic Ludian earthquake that occurred on August 3 with $MS=6.2$ in the Chinese province of Yunnan.

Keywords: seismic stations, strong earthquakes, catalog, magnitude, seismic energy, focal mechanism, macroseismic effect.

DOI: 10.35540/1818-6254.2020.23.23

For citation: Poygina, S.G., Petrova, N.V., & Boldyreva, N.V. (2020). [Global earthquakes]. *Zemletriasenii Severnoi Evrazii* [Earthquakes in Northern Eurasia], 23(2014), 235–243. (In Russ.). doi: 10.35540/1818-6254.2020.23.23

R e f e r e n c e s

1. GS RAS, Bulletin of Teleseismic Stations, 2014. (2020). Retrieved from ftp://ftp.gsras.ru/pub/Teleseismic_bulletin/2014/
2. GS RAS, Catalogues of Teleseismic Stations, 2014. (2020). Retrieved from ftp://ftp.gsras.ru/pub/Teleseismic_Catalog/2014/
3. Boldyreva, N.V., Atorina, M.A., Babkina, V.F., Lyovkina, A.V., Malyanova, L.S., Pavskaya, I.M., Ryzhikova, M.I., & Shcherbakova, A.I. (2020). [Global earthquake catalogue for 2014]. *Zemletriasenii Severnoi Evrazii* [Earthquakes in Northern Eurasia], 23(2014), Appendix on CD. (In Russ.).
4. Babkina, V.F., Boldyreva, N.V., & Poygina, S.G. (2020). [List of seismic stations in Russia and the World, used in the creation of the Seismological Bulletin for 2014]. *Zemletriasenii Severnoi Evrazii* [Earthquakes in Northern Eurasia], 23(2014), Appendix on CD. (In Russ.).
5. Babkina, V.F., Boldyreva, N.V., & Poygina, S.G. (2019). [List of seismic stations in Russia and the World, used in the creation of the Seismological Bulletin for 2013]. *Zemletriasenii Severnoi Evrazii* [Earthquakes in Northern Eurasia], 22(2013), Appendix on CD. (In Russ.).
6. Poygina, S.G., Petrova, N.V., & Boldyreva, N.V. (2019). [Global earthquakes]. *Zemletriasenii Severnoi Evrazii* [Earthquakes in Northern Eurasia], 22(2013), 273–291. (In Russ.). doi: 10.35540/1818-6254.2019.22.25
7. Aptekman, Zh.Ya., Belavina, Yu.F., Zakharova, A.I., Zobin, V.M., Kogan, S.Ya., Korchagina, O.A., Moskvina, A.G., Polikarpova, L.A., & Chepkunas, L.S. (1989). [P-wave spectra in the problem of determining the dynamic parameters of earthquake foci. Transition from station spectrum to source and calculation of dynamic parameters of the source]. *Vulkanologiya i seismologiya* [Journal of Volcanology and Seismology], 2, 66–79. (In Russ.).
8. Hanks, T. C., & Kanamori, H. (1979). A moment magnitude scale. *Journal of Geophysical Research: Solid Earth*, 84(B5), 2348–2350.
9. Chepkunas, L.S., & Malyanova, L.S. (2020). [Source parameters of strong earthquakes of the Earth]. *Zemletriasenii Severnoi Evrazii* [Earthquakes in Northern Eurasia], 23(2014), 244–249. (In Russ.). doi: 10.35540/1818-6254.2020.23.24
10. Malyanova, L.S., & Gabsatarova, I.P. (2020). [Focal mechanisms parameters of strong earthquakes of the Earth in 2014]. *Zemletriasenii Severnoi Evrazii* [Earthquakes in Northern Eurasia], 23(2014), Appendix on CD. (In Russ.).
11. Boldyreva, N.V., Atorina, M.A., Babkina, V.F., Dulentsova, L.G., Lyovkina, A.V., Malyanova, L.S., Ryzhikova, M.I., & Shcherbakova, A.I. (2019). [Earthquake catalogue for 2013]. *Zemletriasenii Severnoi Evrazii* [Earthquakes in Northern Eurasia], 22(2013), Appendix on CD. (In Russ.).

12. Boldyreva, N.V., Poygina, S.G., Atorina, M.A., Babkina, V.F., Lyovkina, A.V., Malyanova, L.S., Pavskaya, I.M., & Scherbakova, A.I. (2020). [Global earthquakes catalogue with M (MPSP, MPLP, MS, $M_w \geq 6.0$ for 2014)]. *Zemletriasenii Severnoi Evrazii* [Earthquakes in Northern Eurasia], 23(2014), Appendix on CD. (In Russ.).
13. Global CMT catalog. (2020). Retrieved from <http://www.globalcmt.org/>.
14. Kasahara, K. (1981). *Earthquake mechanics* (Vol. 139). Cambridge: Cambridge university press.
15. Poygina, S.G., & Kolomiyets, M.V. (2020). [Macroseismic effect of Global felt earthquakes with $M \geq 6$ in settlements in 2014]. *Zemletriasenii Severnoi Evrazii* [Earthquakes in Northern Eurasia], 23(2014), Appendix on CD. (In Russ.).
16. USGS. (2020). Search Earthquake Catalog. Retrieved from <https://earthquake.usgs.gov/earthquakes/search/>
17. NOAA. (2020). National Centers for Environmental Information. The Significant Earthquake Database. Retrieved from <https://www.ngdc.noaa.gov/nndc.struts/form?t=101650&s=1&d=1>
18. Poygina, S.G. (2020). [Coordinates of the settlements in Northern Eurasia shaken in 2014 (at Global earthquakes with $M \geq 6$)]. *Zemletriasenii Severnoi Evrazii* [Earthquakes in Northern Eurasia], 23(2014), Appendix on CD. (In Russ.).
19. Database "Macroseismic punkts GS RAS" (2020). Odninsk, Russia: Funds of GS RAS. (In Russ.).
20. GS RAS, Catalogues of Teleseismic Stations, 1993–2014. (2020). Retrieved from ftp://ftp.gsras.ru/pub/Teleseismic_Catalog/1993-2014
21. Poygina, S.G. (2020). [Addition to the focal mechanisms catalogue of Global earthquakes according to GCMT for 2014.]. *Zemletriasenii Severnoi Evrazii* [Earthquakes in Northern Eurasia], 23(2014), Appendix on CD. (In Russ.).
22. Young, J.B., Presgrave, B.W., Aichele, H., Wiens, D.A., Flinn, E.A. (1996). The Flinn-Engdahl regionalization scheme: the 1995 revision. *Physics of the Earth and Planetary Interiors*, 96, 223–297.
23. Lander, A.V. (2006). Opisanie i instruktsiiia dlja pol'zovatelja kompleksa programm FA (raschet i graficheskoe predstavlenie mekhanizmov ochagov zemletriasenii po znakam pervykh vstuplenii P-voln) [Description and instructions for the user of the FA program complex (calculation and graphic representation of the mechanisms of the earthquake sources according to the signs of the first P-wave arrivals)]. Moscow, Russia. 27 p. (In Russ.).
24. The Modified Mercalli Intensity Scale. (2020). Earthquake Topics. Retrieved from <https://earthquake.usgs.gov/learn/topics/mercalli.php>